

УДК 681.382

Кобзаренко Д.Н.

МАТЕМАТИЧЕСКОЕ МОДЕЛИРОВАНИЕ ТЕПЛОФИЗИЧЕСКИХ ПРОЦЕССОВ В ПОЛУПРОВОДНИКОВЫХ ТЕРМОЭЛЕКТРИЧЕСКИХ ПРЕОБРАЗОВАТЕЛЯХ

Kobzarenko D.N.

MATHEMATICAL MODELING OF THE THERMOPHYSICAL PROCESSES IN SEMICONDUCTOR THERMOELECTRIC CONVERTERS

Рассмотрена математическая модель слоистого термоэлектрического преобразователя энергии, рассчитанного на большие токи питания. Получены тепловые поля и поля термомеханических напряжений в нем. Показаны преимущества сильноточной слоистой конструкции термоэлементов перед классической П-образной.

Ключевые слова: *математическая модель, температурный режим, полупроводниковый термоэлектрический преобразователь, температурное поле, теплообмен, термомеханические напряжения.*

This paper presents a mathematical model of layered thermoelectric energy Converter, designed for high current power supply. The obtained thermal fields and fields of thermo-mechanical stresses in it. Advantages of high-current layered design elements before the classic U-shaped.

Key words: *mathematical model, temperature mode, semiconductor thermoelectric Converter, temperature field, heat transfer, thermo-mechanical stress.*

При проектировании термоэлектрических холодильных установок средней мощности, рассчитанных на величину холодопроизводительности до 1,0-1,2 кВт целесообразным является использование сильноточных термоэлектрических батарей (ТЭБ), надежность которых повышается за счет уменьшения количества паяных соединений в термоэлементах (ТЭ). Однако при реализации сильноточных ТЭБ в классическом П-образном виде возникает проблема, связанная с обеспечением их термомеханической надежности. В данном конструктивном исполнении ТЭ при увеличении значения тока питания, и, соответственно удельных тепловых потоков на его холодных и горячих спаях, резко возрастают термомеханические напряжения вследствие теплового расширения (сужения) материалов, что во многом сказывается на надежности функционирования ТЭБ. В этих условиях необходимо принятие определенных конструктивных мер для снижения их величины.

В настоящей работе предлагается к рассмотрению расчет тепловых полей и полей термомеханических напряжений в данной конструкции ТЭ.

Расчетная схема определения теплового поля в слоистом ТЭ приведена на

рис.1. Области 1, 3 и 5 – коммутационные пластины. 2 и 4 – термоэлектрический материал.

Система дифференциальных уравнений теплопереноса для этой схемы имеет вид:

$$\lambda_1 \frac{\partial^2 T_1}{\partial x^2} + \lambda_1 \frac{\partial^2 T_1}{\partial y^2} + j^2 \Omega_1 = C_1 \frac{\partial T_1}{\partial t}, \quad (1)$$

$$\lambda_2 \frac{\partial^2 T_2}{\partial x^2} + \lambda_2 \frac{\partial^2 T_2}{\partial y^2} + j^2 \Omega_2 = C_2 \frac{\partial T_2}{\partial t}, \quad (2)$$

$$\lambda_3 \frac{\partial^2 T_3}{\partial x^2} + \lambda_3 \frac{\partial^2 T_3}{\partial y^2} + j^2 \Omega_3 = C_3 \frac{\partial T_3}{\partial t}, \quad (3)$$

$$\lambda_4 \frac{\partial^2 T_4}{\partial x^2} + \lambda_4 \frac{\partial^2 T_4}{\partial y^2} + j^2 \Omega_4 = C_4 \frac{\partial T_4}{\partial t}, \quad (4)$$

$$\lambda_5 \frac{\partial^2 T_5}{\partial x^2} + \lambda_5 \frac{\partial^2 T_5}{\partial y^2} + j^2 \Omega_5 = C_5 \frac{\partial T_5}{\partial t}, \quad (5)$$

где λ – коэффициент теплопроводности, Ω – удельное электрическое сопротивление, j – плотность электрического тока, C – объемная теплоемкость, T – температура, t – время.

Начальные, граничные условия и условия сопряжения имеют вид:

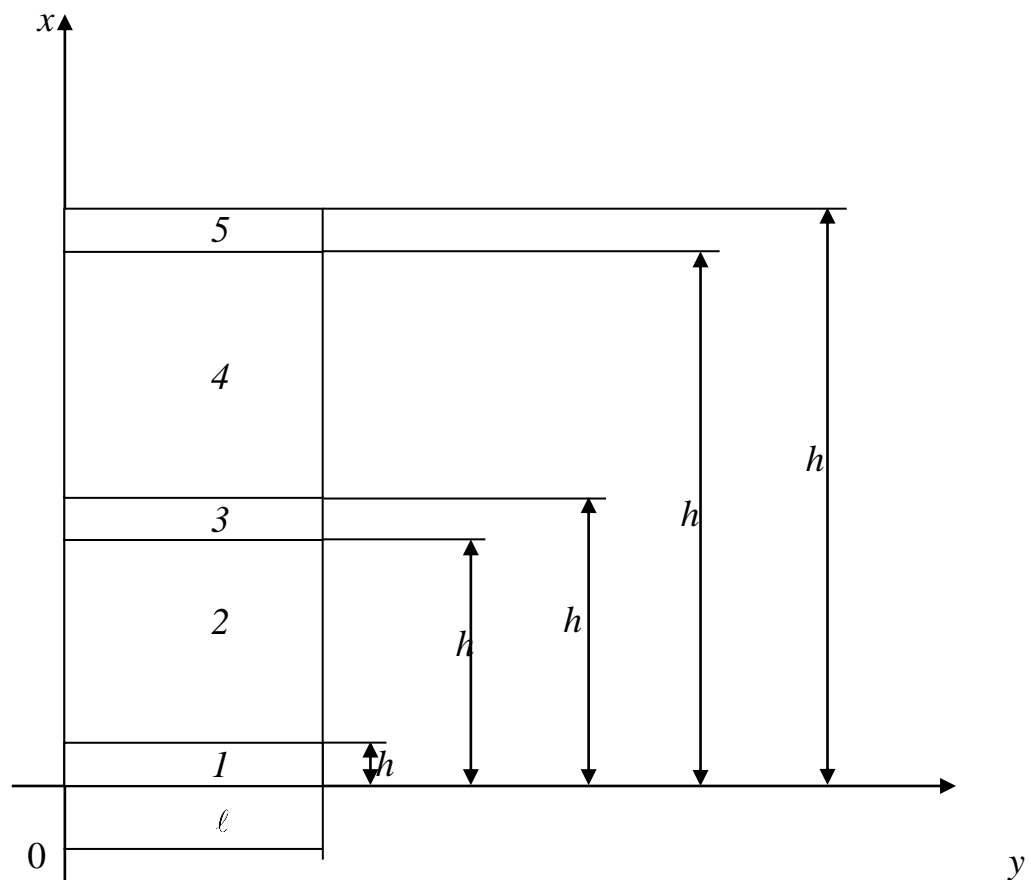


Рисунок 1 - Расчетная схема

$$T_{1,2,3,4} = T_{cp} \text{ при } t = 0, \quad (6)$$

$$\lambda_1 \frac{\partial T_1}{\partial x} = \beta_{mc} (T_1 - T_{mc}) \text{ при } x = 0, 0 < y < \ell, \quad (7)$$

$$\lambda_1 \frac{\partial T_1}{\partial x} = \lambda_2 \frac{\partial T_2}{\partial x} + \alpha_{12} j T_2 \text{ при } x = h_1, 0 < y < \ell, \quad (8)$$

$$\lambda_2 \frac{\partial T_2}{\partial x} - \alpha_{23} j T_2 = \lambda_3 \frac{\partial T_3}{\partial x} \text{ при } x = h_2, 0 < y < \ell, \quad (9)$$

$$\lambda_3 \frac{\partial T_3}{\partial x} = \lambda_4 \frac{\partial T_4}{\partial x} - \alpha_{34} j T_4 \text{ при } x = h_3, 0 < y < \ell, \quad (10)$$

$$\lambda_4 \frac{\partial T_4}{\partial x} + \alpha_{45} j T_4 = \lambda_5 \frac{\partial T_5}{\partial x} \text{ при } x = h_4, 0 < y < \ell, \quad (11)$$

$$\lambda_5 \frac{\partial T_5}{\partial x} = \beta_{mc} (T_5 - T_{mc}) \text{ при } x = h_5, 0 < y < \ell, \quad (12)$$

$$\lambda_1 \frac{\partial T_1}{\partial y} = \beta (T_1 - T_{cp}) \text{ при } y = 0 \text{ и } \ell, 0 \leq x \leq h_1, \quad (13)$$

$$\lambda_2 \frac{\partial T_2}{\partial y} = \beta (T_2 - T_{cp}) \text{ при } y = 0 \text{ и } \ell, h_1 < x \leq h_2, \quad (14)$$

$$\lambda_3 \frac{\partial T_3}{\partial y} = \beta (T_3 - T_{cp}) \text{ при } y = 0 \text{ и } \ell, h_2 < x \leq h_3, \quad (15)$$

$$\lambda_4 \frac{\partial T_4}{\partial y} = \beta (T_4 - T_{cp}) \text{ при } y = 0 \text{ и } \ell, h_3 < x \leq h_4, \quad (16)$$

$$\lambda_5 \frac{\partial T_5}{\partial y} = \beta (T_5 - T_{cp}) \text{ при } y = 0 \text{ и } \ell, h_4 < x \leq h_5, \quad (17)$$

где T_{cp} – температура окружающей среды, α – коэффициент термо-э.д.с., β – коэффициент теплообмена с окружающей средой, β_{mc} – коэффициент теплообмена с системой теплосброса, T_{mc} – температура системы теплосброса.

Решение системы уравнений (1)-(5) с соответствующими начальными и граничными условиями (6)-(17) аналитическим методом затруднительно, при этом полученное решение будет непригодно для анализа ввиду большой сложности. В этом случае целесообразно использовать численные методы решения. Для задач со сложной геометрией наиболее оптимальным подходом является поиск решения с помощью метода конечных элементов [4].

Общее решение данной задачи методом конечных элементов осуществляется в следующей последовательности.

Вводится конечно-элементное представление:

$$\tilde{\varphi}(x, y, t) = \tilde{\varphi}_0(x, y, t) + \sum_{k=1}^K N_k(x, y) \varphi_k(t), \quad (18)$$

$$k = 1, 2, \dots, K$$

где чертой сверху обозначено приближенное решение; K – суммарное число узловых точек; $\tilde{\varphi}_0(x, y, t)$ выбирается так, чтобы точно удовлетворялись начальные и граничные условия; функция $N_k(x, y)$ – пробная функция; коэффициент $\varphi_k(t)$ – неизвестны и определяются из системы уравнений, получаемых из ис-

ходного уравнения.

Каждое из исходных уравнений (1)-(5) можно записать в символьном виде

$$L(T) = 0, \tag{19}$$

Если подставить (19) в (18), то оно не будет тождественно удовлетворяться. Следовательно, можно записать

$$L(T) = R,$$

где величина R - невязка уравнения.

Для определения коэффициентов $\varphi_k(t)$ используется система уравнений Галеркина:

$$\int_D N_m(x, y) R(x, y, t) dx dy = 0, \quad m = 1, \dots, K$$

Для поиска решения стационарной задачи использованы изопараметрические элементы треугольной формы. На рис.2 представлены изопараметрические треугольные элементы двух типов. Приближенное решение в этом случае может быть представлено в виде:

$$\begin{aligned} \tilde{\varphi}(x, y) &= \varphi_a N_a(\zeta, \eta) + \varphi_b N_b(\zeta, \eta) + \varphi_c N_c(\zeta, \eta), & \text{если } x, y \in e_{abc}, \\ \tilde{\varphi}(x, y) &= \varphi_d N_d(\zeta, \eta) + \varphi_e N_e(\zeta, \eta) + \varphi_f N_f(\zeta, \eta), & \text{если } x, y \in e_{def}, \end{aligned}$$

где базисные функции $N_j(\zeta, \eta)$ определяются как

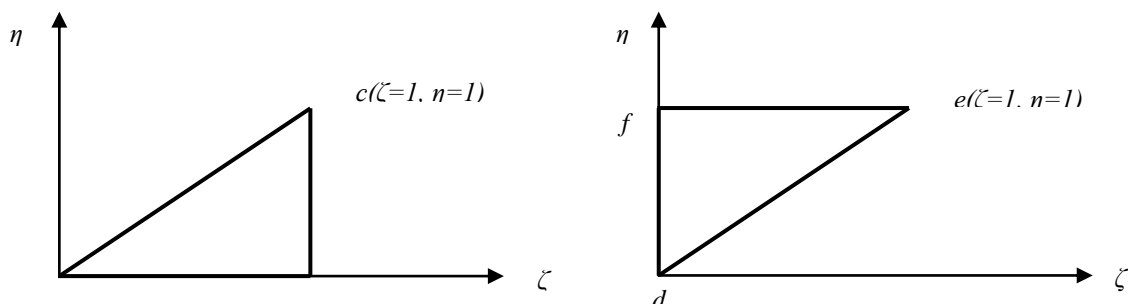


Рисунок 2 - Треугольные изопараметрические элементы двух типов

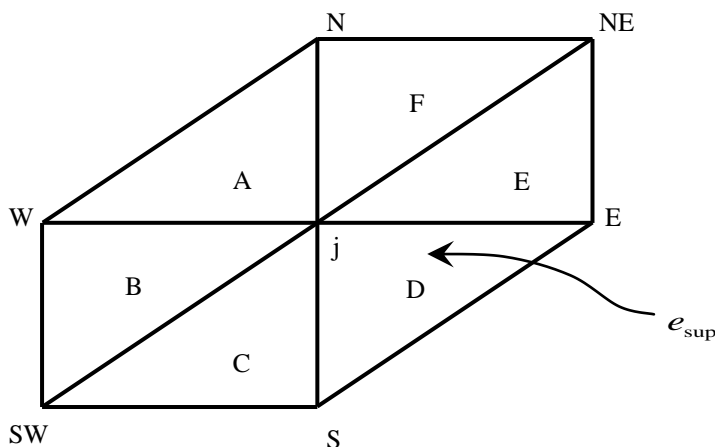


Рисунок 3 - Шесть треугольных элементов e_{sup} , окружающих точку сетки k

$$\begin{aligned} N_a(\zeta, \eta) &= 1 - \zeta, & N_b(\zeta, \eta) &= \zeta - \eta, & N_c(\zeta, \eta) &= \eta, \\ N_d(\zeta, \eta) &= 1 - \eta, & N_f(\zeta, \eta) &= \eta - \zeta, & N_e(\zeta, \eta) &= \zeta. \end{aligned}$$

Выбирая для уменьшения невязки функцию $R(x, y)$ ортогональной ко всем базисным функциям $N_k(x, y)$, и учитывая, что они обладают локальным носителем только на элементах, расположенных вокруг точки сетки k , имеем:

$$(R, N_k) = K_A + K_B + K_C + K_D + K_E + K_F,$$

где

$$K_p = \iint_{e_p} \left(\frac{\partial \tilde{\varphi}}{\partial x} \frac{\partial N_k}{\partial x} + \frac{\partial \tilde{\varphi}}{\partial y} \frac{\partial N_k}{\partial y} + 2N_k \right) dx dy, \quad p = A, B, C, D, E, F.$$

Элементы А, ... , F, как показано на рис.3, окружают точку сетки k .

По данной методике осуществлен численный расчет температурного поля слоистого ТЭ. Основные результаты вычислительного эксперимента приведены на рис.4-8.

На рис.4 приведена структура ТЭ с геометрическими размерами и наложенной на нее конечноэлементной сеткой.

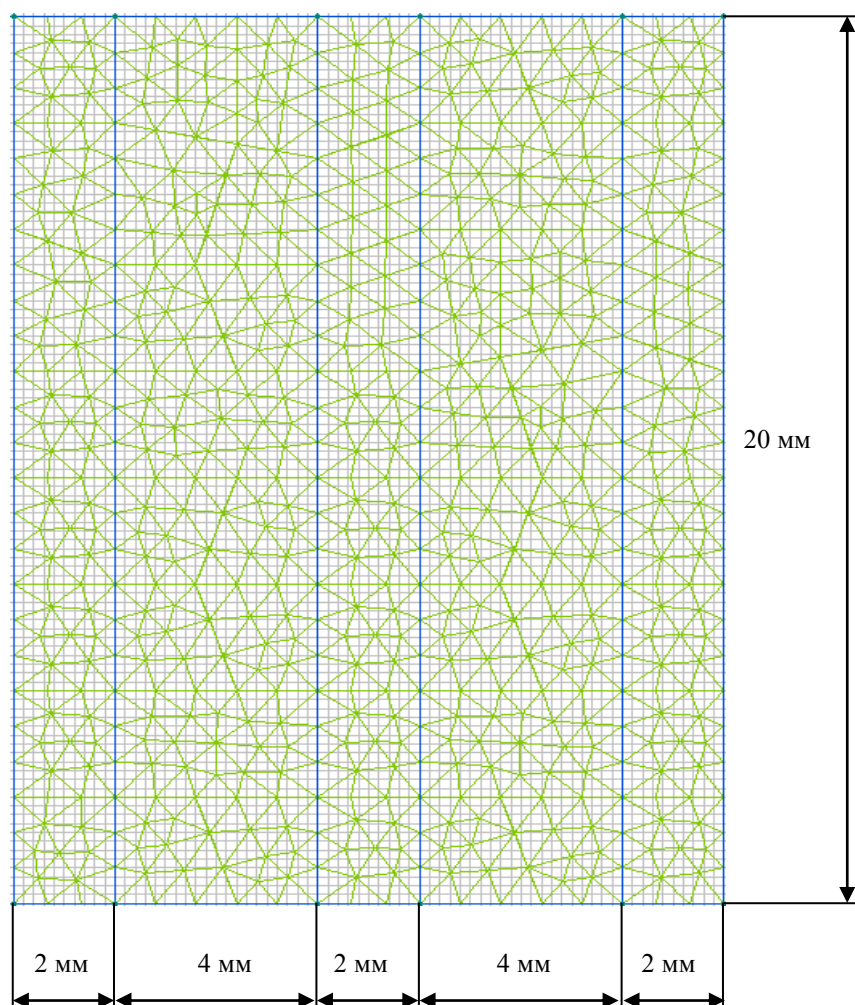


Рисунок 4 - Структура слоистого ТЭ с конечноэлементной сеткой

Размер ячейки сетки подбирается исходя из определяющего размера.

На рис. 5-6 показано соответственно двумерное температурное поле слоистого ТЭ, а также распределение плотности теплового потока после выхода его на стационарный режим работы.

В качестве исходных данных принималось: $\lambda_1=\lambda_3=\lambda_5=395$ Вт/(м·К), $\lambda_2=\lambda_4=1,5$ Вт/(м·К), $\rho_1=\rho_3=\rho_5=0,0172 \cdot 10^{-6}$ Ом·м, $\rho_2=\rho_4=10,65 \cdot 10^{-6}$ Ом·м, $C_1=C_3=C_5=383$ Дж/(кг·К), $C_2=C_4=123$ Дж/(кг·К), $T_{cp}=293$ К, $T_0=291$ К, $\alpha=0,2 \cdot 10^{-3}$ В/К, $\beta=10$ Вт/(м²·К), $T_{mc}=291$ К, $\beta_{mc}=70$ Вт/(м²·К).

Величина теплового потока определялась из соотношения:

$$F_{xi} = \lambda_i \frac{\partial T_i}{\partial x}, \quad F_{yi} = \lambda_i \frac{\partial T_i}{\partial y},$$

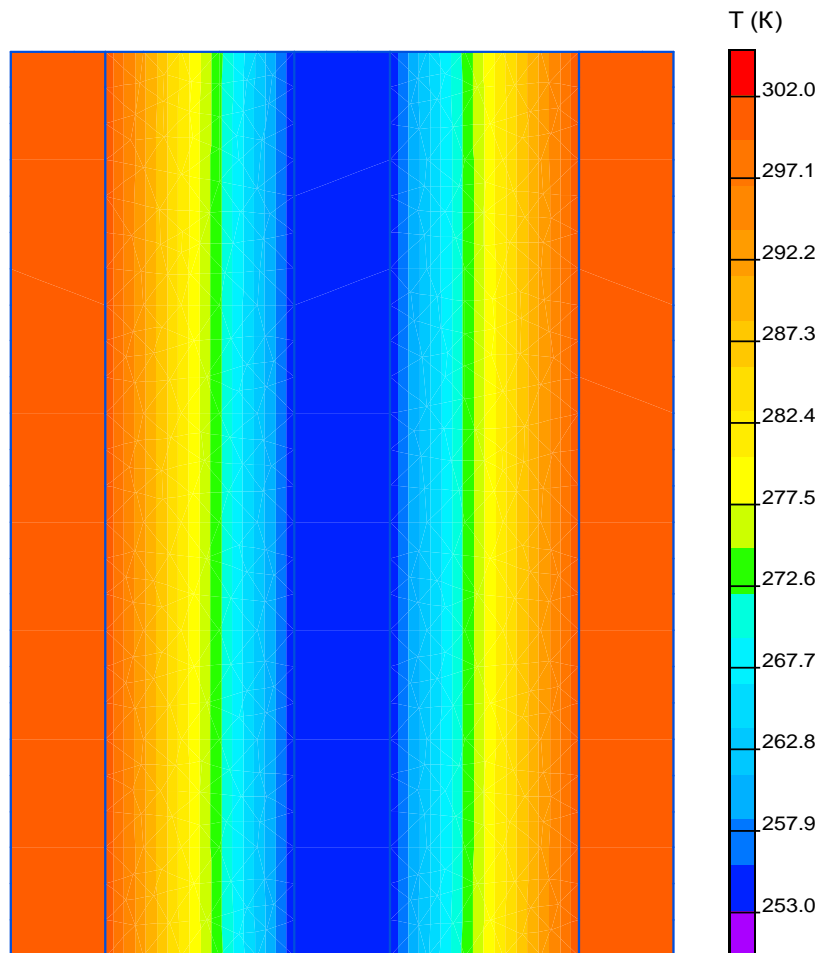


Рисунок 5 - Температурное поле слоистого ТЭ

где $i=1, \dots, 5$.

На рис.7-8 показано соответственно распределение температуры ТЭ вдоль его продольной оси при различной величине тока питания, а также изменение во времени температуры в различных точках слоистого ТЭ.

Как следует из полученных данных, при использовании ТЭ в слоистом исполнении можно получить значительный перепад температур между холодной и горячей коммутационной пластиной при большой величине теплового потока.

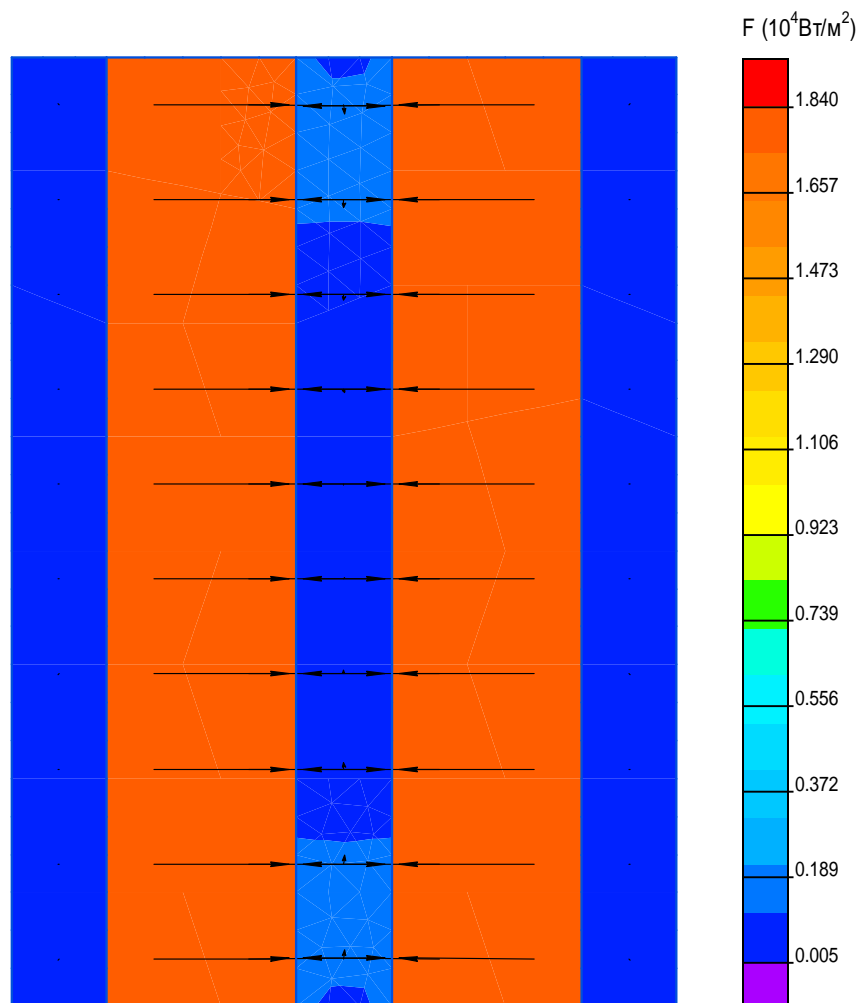


Рисунок 6 - Картина распределения тепловых потоков в слоистом ТЭ

Как следует из рис.6-7, при перепаде температур между коммутационными пластинами в 47 К тепловой поток на холодном спае ТЭ, пропорциональный его холодопроизводительности, составляет порядка 18000 Вт/м^2 , что соответствует при данной геометрии ТЭ току питания в 140 А. С уменьшением величины питающего электрического тока значение теплового тока на холодном спае ТЭ и перепад температур между его саями также уменьшаются. Согласно рис.7 при снижении тока питания ТЭ с 140 А до 80 А перепад температур между саями ТЭ уменьшается с 47 К до 31 К, соответственно тепловой поток на холодном спае уменьшается с 18000 Вт/м^2 до 12000 Вт/м^2 .

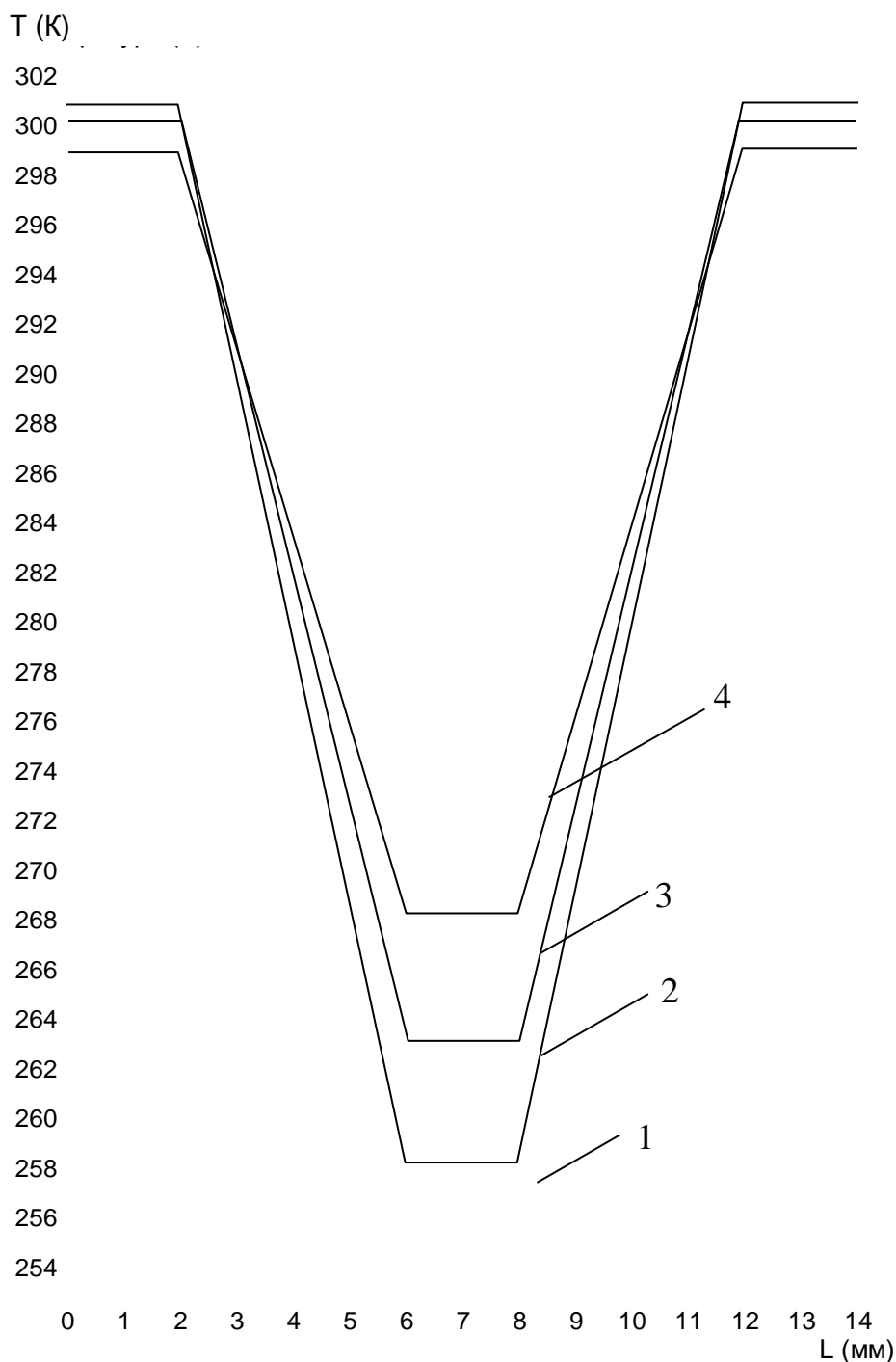


Рисунок 7 - Распределение температуры ТЭ вдоль продольной оси слоистого ТЭ при различных величинах тока питания:
 1 – 140 А, 2 – 120 А, 3 – 100 А, 4 – 80 А

На рис.8 приведены данные об изменении температуры холодной и горячей коммутационной пластин, а также различных точек ветви ТЭ во времени при токе питания 140 А. Согласно приведенным данным, температура в указанных точках выходит на установившийся режим примерно через 900 с. Данное обстоятельство связано с достаточно большими габаритными размерами ТЭ. При толщине коммутационных пластин 2 мм и высоте ветвей ТЭ 4 мм площадь

поперечного сечения равняется $400 \cdot 10^{-6} \text{ м}^2$. При этом, как следует из расчетных данных, целесообразным будет являться предусмотреть съём теплоты не только поперечного сечения равняется $400 \cdot 10^{-6} \text{ м}^2$. При этом, как следует из расчетных данных, целесообразным будет являться предусмотреть съём теплоты не только с горячих коммутационных пластин, но и также с близлежащей к ним поверхности ветвей ТЭ. В данном конструктивном исполнении может быть предложен дополнительный теплосъём примерно с 1/3 боковой поверхности ТЭ.

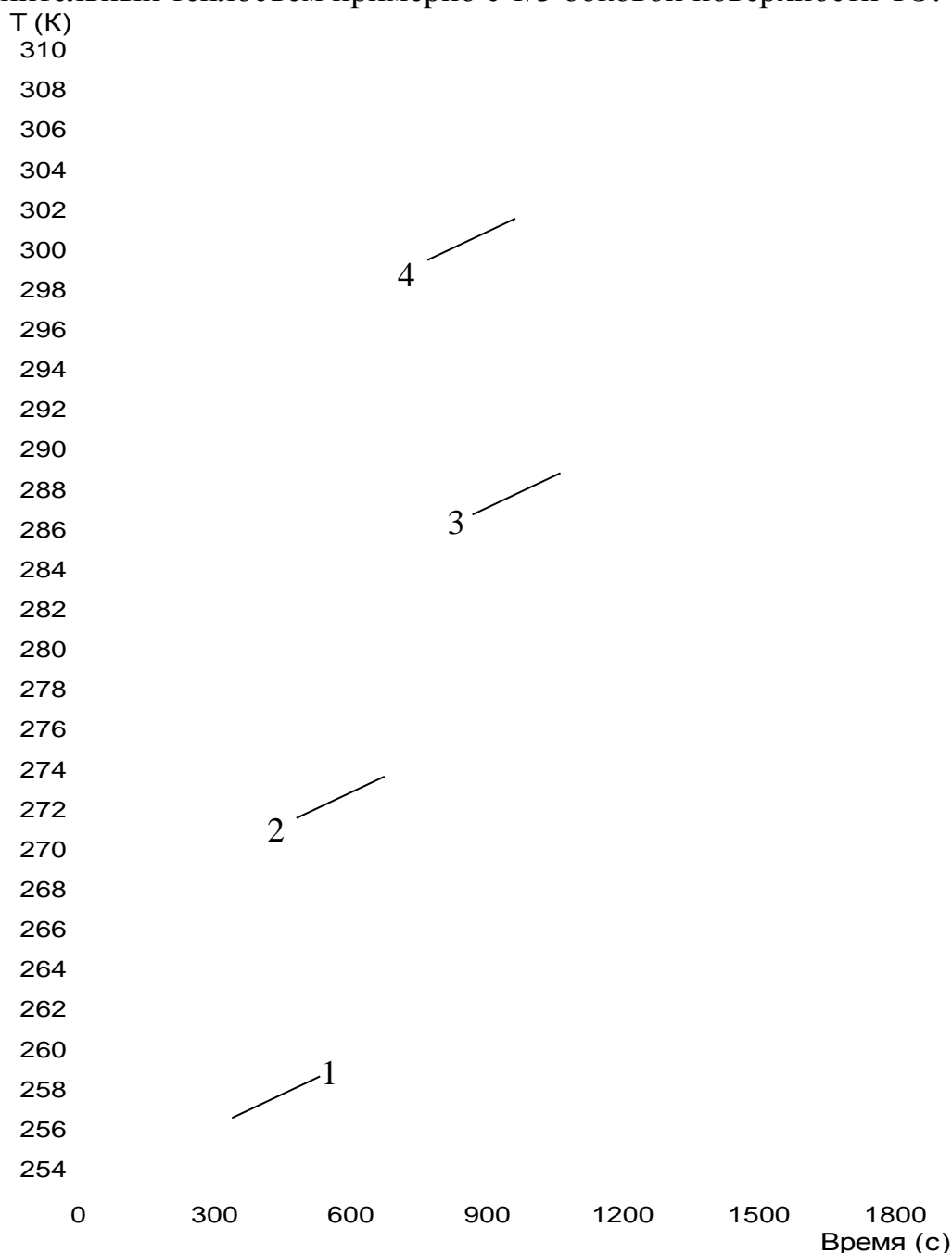


Рисунок 8 - Изменение температуры в различных точках слоистого ТЭ вдоль продольной оси во времени

Для оценки термомеханических характеристик ТЭ слоистой конструкции был произведен расчет возникающих в нем механических напряжений и деформаций, являющихся следствием теплового расширения материалов.

Расчет производился также с использованием метода конечных элементов. При этом, математическая формулировка задачи имела следующий вид.

Температурная деформация материала определяется коэффициентами линейного расширения и изменением температуры относительно температуры недеформированного состояния. Составляющая начальной термической деформации для изотропного материала (для упрощения расчетов термоэлектрический материал, из которого изготавливались ветви ТЭ, также принимался изотропным) имеет вид:

$$\{\varepsilon_0\} = (1 + \nu) \begin{Bmatrix} \gamma \\ \gamma \\ 0 \end{Bmatrix} \Delta T, \quad (20)$$

где ν - коэффициент Пуассона, γ - коэффициент линейного расширения материала, ΔT – перепад температуры между деформированным и недеформированным состоянием.

Соотношение между механическими напряжениями и деформациями выражается зависимостью:

$$\{\sigma\} = [D] (\{\varepsilon\} - \{\varepsilon_0\}), \quad (21)$$

где $[D] = \frac{E}{1-\nu^2} \begin{bmatrix} 1 & \nu & 0 \\ \nu & 1 & 0 \\ 0 & 0 & \frac{1-\nu}{2} \end{bmatrix}$ – матрица упругости, E – модуль Юнга,

$\{\varepsilon\} = \begin{Bmatrix} \frac{\partial \delta_x}{\partial x} \\ \frac{\partial \delta_y}{\partial y} \\ \frac{\partial \delta_x}{\partial x} + \frac{\partial \delta_y}{\partial y} \end{Bmatrix}$ – деформация, $\begin{Bmatrix} \delta_x \\ \delta_y \end{Bmatrix}$ – компоненты вектора перемещений.

Уравнения статического равновесия имеют следующий вид:

$$\begin{cases} \frac{\partial \sigma_x}{\partial x} + \frac{\partial \tau_{xy}}{\partial y} = -f_x \\ \frac{\partial \tau_{xy}}{\partial x} + \frac{\partial \sigma_y}{\partial y} = -f_y \end{cases}, \quad (22)$$

где f_x, f_y – компоненты вектора плотности объемной силы, $\sigma_x, \sigma_y, \tau_{xy}$ – нормальные и касательные механические напряжения по осям.

Решение уравнений (20)-(22) совместно с граничными условиями, определяющими наличие по всем граням системы нулевого нормального давления, распределение температуры, определяемого при решении уравнений (1)-(19), а также наличие упругих подвесов в крайних точках ТЭ, дает возможность полу-

чить двумерную картину механических напряжений, деформаций и перемещений.

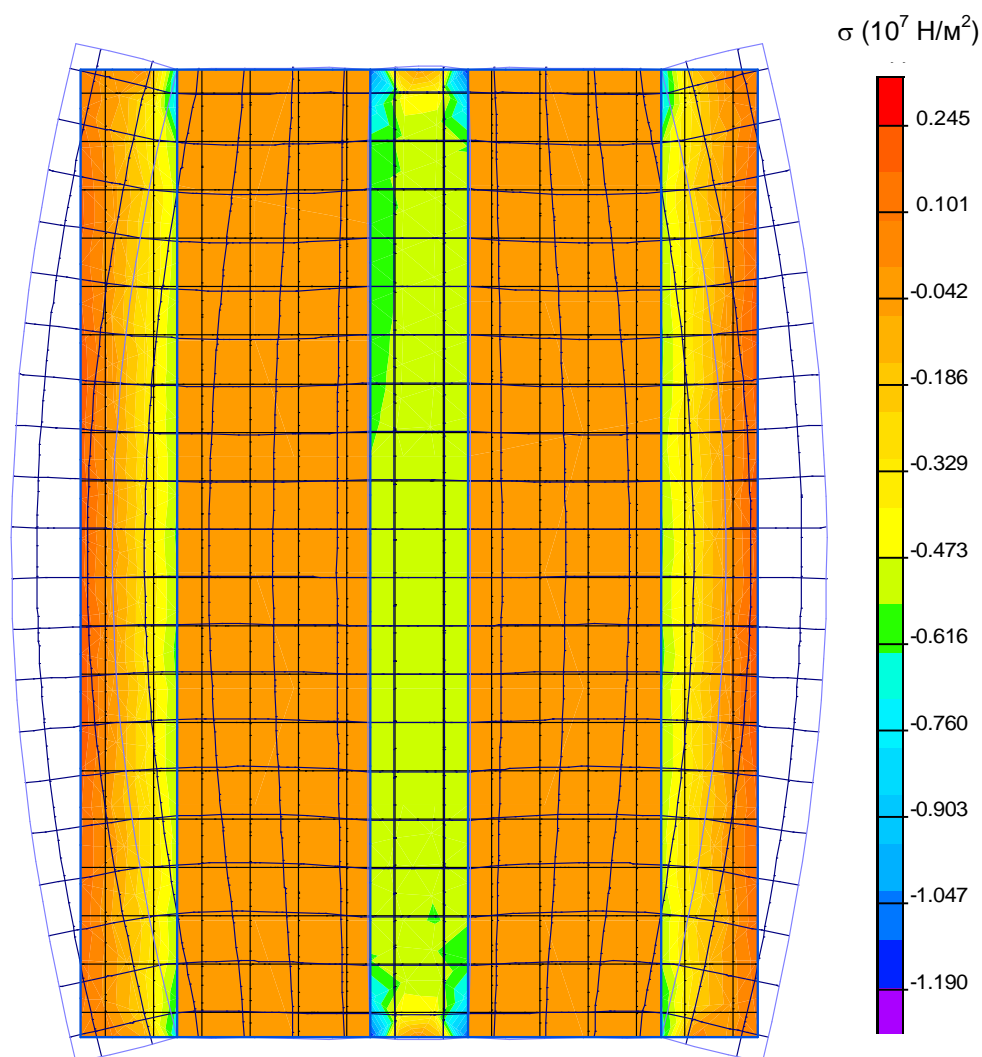


Рисунок 9 - Картина распределения механических напряжений в слоистом ТЭ

Результаты вычислений приведены на рис.9-10. Расчеты выполнены при следующих исходных данных: $E=1,2 \cdot 10^6 \text{ Н/м}^2$, $\nu=0,3$, $\gamma=22,2 \cdot 10^{-6} \text{ 1/К}$ для термоэлектрического материала и $E=1,2 \cdot 10^{11} \text{ Н/м}^2$, $\nu=0,34$, $\gamma=16,8 \cdot 10^{-6} \text{ 1/К}$ для медных коммутационных пластин. Предел прочности термоэлектрического материала составляет $1,0 \cdot 10^7 \text{ Н/м}^2$, коммутационных пластин – $3,2 \cdot 10^8 \text{ Н/м}^2$.

На рис.9 показано двумерное поле механических напряжений для слоистого ТЭ при токе питания 120 А, что соответствует величине теплового потока 16000 Вт/м^2 . Как следует из приведенных данных для указанного конструктивного исполнения ТЭ величина механических напряжений не выходит за допустимые значения. Наибольшая нагрузка приходится на места контакта комму-

тационных пластин с ветвями ТЭ. Здесь величина механической нагрузки достигает значения $0,9 \cdot 10^7$ Н/м² для коммутационной пластины. Наибольшие механические напряжения в термоэлектрическом веществе не превышают $0,2 \cdot 10^7$ Н/м². На рис.9 также показана деформированная граница ТЭ. Как следует из рисунка, в случае слоистой конструкции ТЭ деформации относительно незначительны и связаны, прежде всего, с удлинением и расширением ТЭ с боков, что объясняется отсутствием его жесткой фиксации по краям. При этом максимальная величина перемещений не превышает 0,18 мм.

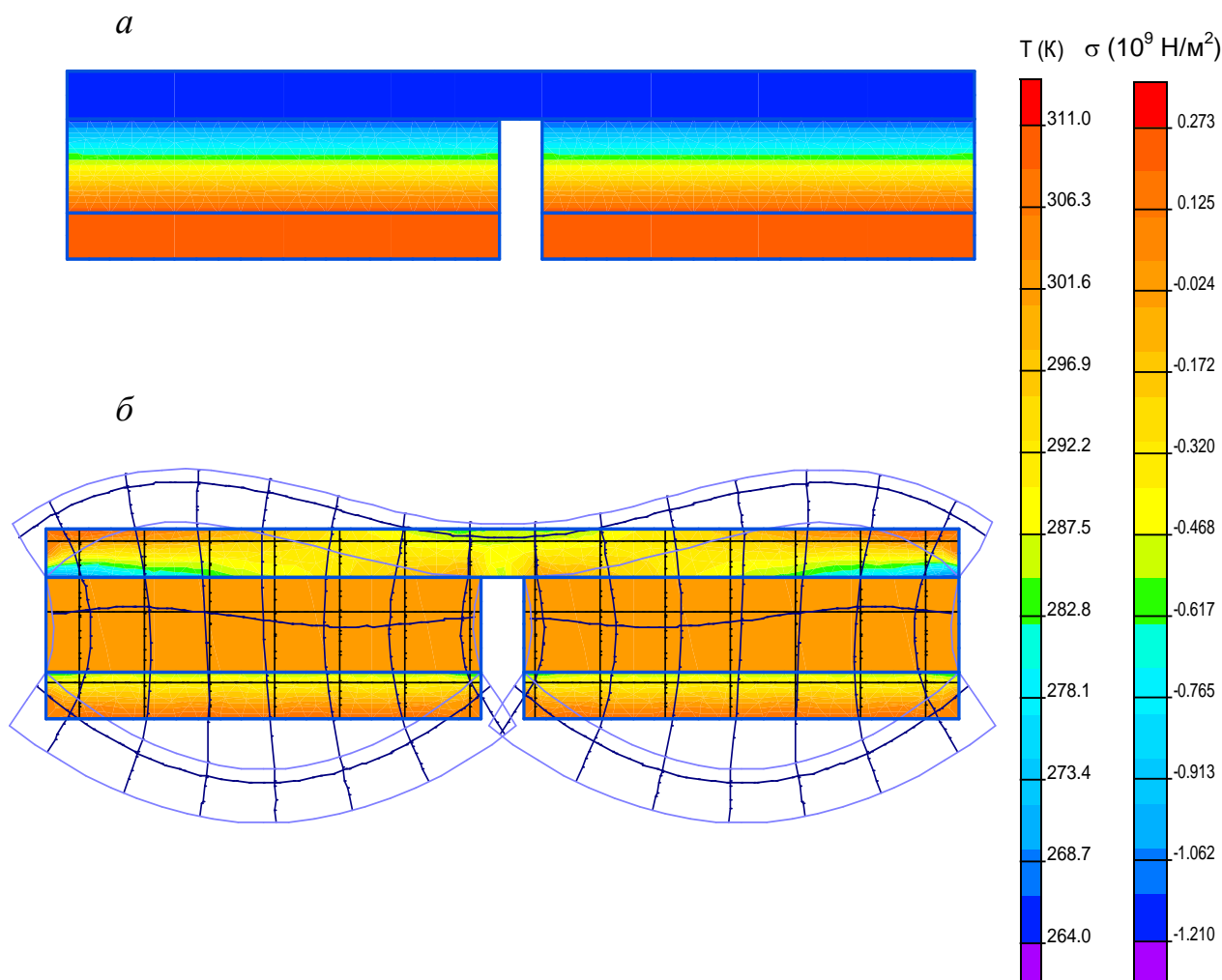


Рисунок 10 - Температурное поле (а) и поле механических напряжений (б) классической П-образной конструкции ТЭ

Для сравнения на рис.10 рассмотрена картина механических напряжений при тех же условиях для классического П-образного ТЭ. В данном случае деформации достаточно велики, и при величине тока питания 120 А без применения специальных мер по снижению термомеханических нагрузок механические усилия превышают соответствующий предел прочности материала. Например, для коммутационных пластин в стыке с ветвью ТЭ значение механических

напряжений свыше $7 \cdot 10^8$ Н/м², что более чем в 2 раза превышает величину предела прочности меди, для термоэлектрического материала соотношение механических нагрузок и предела прочности в данном случае еще выше.

При этом, в соответствии с проведенными расчетами установлено, что для данной конструкции ТЭ наибольшим током питания без превышения допустимого значения механических нагрузок в системе является электрический ток, не превышающий величины 82 А, т.е. почти в 1,7 раза меньше, чем в случае использования слоистого ТЭ, для которого максимальная величина тока питания по расчетам составляет 140 А.

Таким образом, проведенные расчеты в полной мере подтверждают преимущества слоистой ТЭБ перед ТЭБ, выполненной из ТЭ П-образной формы. В первом случае можно получить более мощную ТЭБ без снижения ее термомеханических характеристик и надежности работы.

Библиографический список:

1. Патент РФ на изобретение № 2269183. Термоэлектрическая батарея / Исмаилов Т.А., Вердиев М.Г., Евдулов О.В., Меркухин Н.Е., опубл. 27.01.2006, БИ №3.
2. Патент РФ на изобретение № 2269184. Термоэлектрическая батарея / Исмаилов Т.А., Вердиев М.Г., Евдулов О.В., Меркухин Н.Е., опубл. 27.01.2006, БИ №3.
3. Патент РФ на изобретение № 2280919. Термоэлектрическая батарея / Исмаилов Т.А., Вердиев М.Г., Евдулов О.В., опубл. 27.07.2006, БИ №21.
4. Ши Д. Численные методы в задачах теплообмена. Перевод с англ. – М.: Мир, 1988. – 544с.

УДК 681.382

Кобзаренко Д.Н., Рашидханов А.Т., Юсуфов Ш.А.

МОДЕЛИРОВАНИЕ ТЕМПЕРАТУРНОГО ПОЛЯ ЭЛЕКТРОННОГО БЛОКА С ТЕРМОЭЛЕКТРИЧЕСКИМ ОХЛАЖДЕНИЕМ В СОСТАВЕ ШКАФА ДЛЯ ТЕЛЕКОММУНИКАЦИОННОГО ОБОРУДОВАНИЯ

Kobzarenko D.N., Rashidkhanov A.T., Yusufov Sh.A.

MODELING OF A TEMPERATURE FIELD OF THE ELECTRONIC BLOCK WITH THERMOELECTRIC COOLING AS A PART OF A CASE FOR THE TELECOMMUNICATION EQUIPMENT

В статье рассмотрена математическая модель электронного блока с термоэлектрическим охлаждением в составе шкафа для телекоммуникаци-